



ارزیابی تنوع ژنتیکی اکو-تیپ‌های سس زراعی (*Cuscuta campestris* Yunker) با استفاده از نشانگرهای مولکولی و پروتئینی

سارا تاجدوست^{۱*}, رمضانعلی خاوری نژاد^۲, فریبا میقانی^۳, اسکندر زند^۴ و زهرا نورمحمدی^۵

۱- دانشجوی دکترای فیزیولوژی گیاهی، گروه زیست‌شناسی، دانشکده علوم پایه، دانشگاه آزاد اسلامی واحد علوم و تحقیقات تهران

۲- استاد فیزیولوژی گیاهی، گروه زیست‌شناسی، دانشکده علوم پایه، دانشگاه آزاد اسلامی واحد علوم و تحقیقات تهران

۳- استادیار فیزیولوژی گیاهی، بخش تحقیقات علف‌های هرز، مؤسسه تحقیقات گیاه‌پزشکی کشور

۴- دانشیار فیزیولوژی گیاهان زراعی، بخش تحقیقات علف‌های هرز، مؤسسه تحقیقات گیاه‌پزشکی کشور

۵- استادیار ژنتیک مولکولی، گروه زیست‌شناسی، دانشکده علوم پایه، دانشگاه آزاد اسلامی واحد علوم و تحقیقات تهران

تاریخ پذیرش: ۹۱/۵/۴؛ تاریخ دریافت: ۹۰/۷/۲۲

Assessment of Genetic Diversity in *Cuscuta campestris* Yunker Ecotypes Based on their Molecular and Protein Markers

Sara Tajdoost,^{1*} Ramezan Ali Khavari-Nejad,²
Fariba Meighani,³ Eskandar Zand⁴ and Zahra
Noormohammadi⁵

1- Ph.D. student, Department of Biology, Faculty of Basic Sciences, Science and Research Branch, Islamic Azad University.

2- Professor, Department of Biology, Faculty of Basic Sciences, Science and Research Branch, Islamic Azad University.

3- Assistant Professor, Department of Weed Research, Plant Protection Research Institute.

4- Associate Professor, Department of Weed Research, Plant Protection Research Institute.

5- Assistant Professor, Department of Biology, Faculty of Basic Sciences, Science and Research Branch, Islamic Azad University.

Abstract

The genetic diversity of 17 *Cuscuta campestris* ecotypes collected from different regions of Iran was assessed using ISSR and protein markers. Ten ISSR primers generated a total of 361 bands, of which 347 bands were polymorphic. PIC (polymorphism information content), based on ISSR and protein data, averaged 0.66 and 0.4 per primer, respectively. Cluster analysis and PCA plots derived from Dice's similarity coefficient of the two-marker systems were highly concordant. The analysis of molecular variance allowed us to partition variation into: 81% (variance among populations) and 19% (variance within populations) based on ISSR data; and 85% (variance among populations) and 15% (within populations) for protein data. This high variation among ecotypes could be due to the high self fertilization, limited gene flow or the low rate of pollen and seed migration among ecotypes. Knowledge of the genetic variability of the weed acquired through using different molecular tools can be helpful in developing management programs in order to effective control of the weed in crop fields.

Keywords: Genetic diversity, *Cuscuta campestris*, ISSR markers, Gene flow.

چکیده

۱۷ اکو-تیپ سس زراعی از نواحی مختلف ایران با استفاده از نشانگرهای ISSR و پروتئینی مورد ارزیابی قرار گرفتند. از ده آغازگر ISSR، در مجموع ۳۶۱ باند نمره‌دهی شد که در بین آنها ۳۴۷ باند چند شکل بودند. میانگین PIC (محتوای اطلاعات چند شکلی) بر پایه داده‌های ISSR و پروتئینی، به ترتیب ۰/۶۶ و ۰/۴۰ محسنه گردید. تجزیه خوشای و پلاتهای PCA حاصل از ضربی تشابه دایس، همخوانی بالایی داشتند. آنالیز واریانس مولکولی بر پایه داده‌های ISSR، تنوع کلی را به ۸۱٪ (تنوع بین جمعیت‌ها) و ۱۹٪ (تنوع داخل جمعیت‌ها) و بر پایه داده‌های پروتئینی به ۸۵٪ (تنوع بین جمعیت‌ها) و ۱۵٪ (تنوع داخل جمعیت‌ها) تقسیم نمود. تنوع زیاد بین اکو-تیپ‌ها ممکن است نتیجه خودگشته باشد. آگاهی از تنوع ژنتیکی محدود و سرعت پایین انتقال دانه گرده و دانه باشد. آگاهی از تنوع ژنتیکی این علف هرز با استفاده از ابزارهای مولکولی متفاوت، می‌تواند منجر به پیشرفت برنامه‌های مدیریتی به منظور کنترل مؤثر این علف هرز در زمین‌های زراعی شود.

واژه‌های کلیدی: تنوع ژنتیکی، سس زراعی، نشانگرهای ISSR، جریان ژنی.

* Corresponding author. E-mail Address: S.Tajdoost@gmail.com

مقدمه

هستند، در برابر آشفتگی‌های محیطی به خوبی سازش یافته و اغلب دارای قابلیت تکثیر بذر می‌باشند (Adahl *et al.*, 2006). افزایش آگاهی از تنوع ژنتیکی جمعیت‌های علف‌هرز می‌تواند ابزاری مهم در افزایش کارایی مدیریت علف‌های هرز و نوآوری در روش‌های کنترل آن‌ها باشد (Goolsby *et al.*, 2006). نشانگرهای ژنتیکی منجر به افزایش دانش ما در رابطه با جنبه‌های مهم علف‌های هرز شده و اطلاعاتی را در رابطه با الگوی تهاجم، توارث ویژگی‌ها (مانند مقاومت به علف‌کش‌ها)، روابط تاکسونومیکی، منشأ و جریان ژنی آن‌ها فراهم می‌سازند. نشانگرهای مبتنی بر DNA تحت اثر شرایط محیطی قرار نگرفته و نقش مهمی را در شناسایی و سنجش تنوع ژنتیکی گیاهان ایفا می‌کنند (Zhao *et al.*, 2006). نشانگرهای ISSR¹ تکثیر بین ردیف تکراری ساده، نشانگرهایی بالقوه در شناسایی تنوع ژنتیکی، در مقایسه با سایر نشانگرها هستند و امکان بررسی تنوع نواحی ویژه‌ای از ژنوم را در چندین جایگاه به صورت همزمان فراهم می‌سازند (Mengistu *et al.*, 2004). مطالعات اولیه نشانگرهای پروتئینی انجام می‌شد. نشانگرهای پروتئینی، فرآورده نهایی ژن‌های ساختاری بوده که در واقع بیانگر تنوع موجود در سطح توالی نوکلئوتیدی ژنوم هستند، اما از آنجا که محصولات ژن از روی قسمتی از توالی‌های DNA ساخته می‌شوند، لذا در برگیرنده همه تغییرات موجود در سطح DNA نیستند و نمی‌توانند نماینده کل ژنوم باشند و در برگیرنده تنوع مربوط به قسمت‌های بیان شونده ژنوم می‌باشند. این نشانگرهایا به دلیل همباز

سس که عموماً با نام انگلیسی dodder شناخته شده، از علف‌های هرز مهم اروپا، خاورمیانه، آفریقا، آمریکای شمالی و جنوبی است. همه گونه‌های سس انگل اجباری هستند و با ۱۷۰ گونه در سراسر جهان پراکنده شده‌اند (Aly, 2007). مهم‌ترین گونه آن Cuscuta campestris Yuncker (سس زراعی) است. تلفات محصولات زراعی با این انگل از ۲۰ تا ۵۷ درصد تخمین زده شده و تولید چندرقند را ۳/۵-۴ تن در هکتار کاهش داده و علف‌هرز حداقل ۲۵ محصول زراعی در ۵۵ کشور جهان است. یونجه (Trifolium spp.), شبدر (Medicago sativa L.) هویج (Daucus carota L.) و با گستره کمتر مارچوبه (Asparagus officinalis L.)، نخود (Vitis vinifera L.)، انگور (Cicer arietinum L.)، خربزه (Cucumis melo L.)، بدمجان (Solanum melongena L.) و برخی گیاهان زیستی مانند گل مینا از میزانهای ترجیحی این گونه هستند (Costea and Tardif, 2006; Lian *et al.*, 2006). ساقه پیچنده سس فاقد برگ و ریشه و به رنگ زرد-نارنجی است. گل‌های کوچک آن‌ها، به صورت سبله و گاهی منفرد هستند. جوانه‌زنی دانه آن‌ها، مستقل از تأثیر میزان روی می‌دهد. دانه‌رسان آن‌ها می‌تواند تا چند روز بدون میزان بقا یابد و زمانی که به میزان مناسب خود اتصال یافتد، ساقه آن‌ها در اطراف میزان می‌پیچد و اندام مکنده‌ای را می‌سازد که ممکن‌نامیده می‌شود، که به بافت آوندی میزان نفوذ می‌کند (Weinberg *et al.*, 2003).

علف‌های هرز در مزارع کشاورزی دارای شکل پذیری بالای فتوتیپی و تنوع بالای ژنتیکی

بررسی، می‌تواند در پیشبرد استراتژی‌های مدیریتی و کنترلی، به منظور کاهش تأثیر منفی این علف‌هرز در نواحی کشاورزی مؤثر باشد.

مواد و روش‌ها

مواد گیاهی

در این تحقیق، ۱۷ اکوتب سس زراعی که بذرهای آن‌ها از مؤسسه تحقیقات گیاه‌پزشکی کشور، بخش تحقیقات علف‌های هرز تهیه شده بود، مورد ارزیابی قرار گرفتند. بذرها از مناطق مختلف کشور جمع‌آوری گردیده، که مشخصات طول و عرض جغرافیایی محل جمع‌آوری آن‌ها، در جدول ۱ نشان داده شده است. تاریخ کاشت بذرها در گلدان‌ها پنجم فروردین ۱۳۹۰ بود. قبل از کشت بذرها در گلدان‌ها، به منظور حذف پوسته سخت فوکانی و برطرف ساختن خواب بذرهای سس، تیمار خراش‌دهی آن‌ها انجام گرفت. بذرهای سس ۲۰ دقیقه در محلول اسید سولفوریک ۹۸ درصد قرار گرفتند. پس از حذف پوسته‌های سخت بذرها، در ابتدای مرحله شش برگی حقیقی چغندر قند (گیاه میزان)، بذرها در سطح گلدان‌ها پخش و روی آن‌ها به وسیله ماسه نرم پوشیده شد. بذرها در عمق تقریبی ۱-۱/۵ سانتی‌متری کاشته شدند. آزمایشات در طرح کاملاً تصادفی با پنج تکرار در شرایط گلخانه‌ای در دمای ۲۱ درجه سانتی گراد و دوره نوری ۱۲ ساعته و رطوبت نسبی حدود 70 ± 5 درصد انجام شد.

دو هفته پس از رشد دانه رست‌های سس، از هر تکرار سه گیاه به صورت تصادفی انتخاب و نمونه‌های جمع‌آوری شده پس از انجماد در نیتروژن مایع، به فریزر ۲۰- درجه سانتی‌گراد منتقل شدند.

بودن اهمیت خاصی دارند. تعداد مکان‌های ژنی که در طول دوره زندگی جاندار بیان می‌شوند زیاد است، بنابراین برای پاسخ به برخی از پرسش‌ها بهتر است به جای نشانگرهای اسیدنوکلئیک، از نشانگرهای پروتئینی استفاده شود (Dziechciarkova et al., 2004).

اگر چه گیاه سس از دیر باز مورد توجه بوده و تحقیقاتی در زمینه بیولوژی و مبارزه با آن‌ها انجام شده، اما متأسفانه مطالعه چندانی روی تنوع ژنتیکی آن‌ها صورت نگرفته است. در مطالعه Kim و همکاران (2004)، تنوع ژنتیکی دانه‌رست‌های سس مرداب (Swamp dodder) با استفاده از نشانگرهای ملکولی RFLP بررسی شد که منجر به جداسازی دو اکوتب A و B شد. تنوع مشاهده شده در جمعیت سس مرداب، توضیحی برای تفاوت زمان‌های حضور حداکثر این گونه از سس در طی چهار فصل رویشی بود، همچنین بردباری متفاوت آن‌ها به علف کش پیش رویشی دیکلوبنیل را نیز توضیح می‌داد. Kim و همکاران (2004) گزارش دادند که تعیین توزیع اکوتب‌های این گیاه و کاربردهای مناسب علف کش، می‌تواند در کنترل سس مرداب که انگل زغال‌اخته‌های ماساچوست هستند، مؤثر باشد. Li و Dong (2009) روی تنوع ژنتیکی ژنوتیپ‌های C. campestris و میزانش ISSR با نشانگر Mikania micrantha مطالعه نمودند و نتایج حاکی از رشد کلونالی بالای C. campestris بود.

هدف از این تحقیق، بررسی میزان تنوع ژنتیکی بین اکوتب‌های سس زراعی با استفاده از نشانگرهای ISSR و پروتئینی است. نتایج این

استخراج DNA و آنالیز ISSR

میکرولیتر از مخلوط فرآورده واکنش زنجیره‌ای پلیمراز با رنگ فرمامید، بر روی ژل پلی آکریلامید (Benbouza *et al.*, 2006) و اسرشته ساز شش درصد (Bio Rad, Bio Rad squi-Gen GT) با توان ۸۰ وات به مدت ۶۰ دقیقه انجام و سپس رنگ آمیزی ژل با استفاده از روش نیترات نقره انجام شد (Bassam *et al.*, 1991).

استخراج پروتئین و الکتروفورز: برای تهیه عصاره پروتئینی، ۱ گرم بافت تر ساقه سس در بافر فسفات سدیم ۵۰ میلی مولار با اسیدیته ۷ (به نسبت ۱:۱) هموژنیزه گردید. برای سهولت عصاره‌گیری از ازت مایع استفاده گردید، پس از آن پودر حاصله به لوله سانتریفیوژ ۱۰ میلی لیتری منتقل شده و بافر مذکور به لوله اضافه گردید. سپس این سوسپانسیون به مدت ۲۰ دقیقه در ۱۵۰۰ دور در دیافراگمه در برودت ۴ درجه سانتیگراد سانتریفیوژ شد. بخش مایع آن (عصاره صاف شده) به لوله‌های تمیز منتقل شده و در برودت ۲۰- درجه سانتی گراد تا اجرای مراحل بعدی نگهداری گردید. غلظت پروتئین محلول نمونه‌ها مطابق روش (Bradford, 1976) با استفاده از آلبومین سرم گاوی به عنوان استاندارد تعیین شد. در این تحقیق برای الکتروفورز پروتئین، از روش SDS-PAGE استفاده شد. مخلوط ۳۰ میکرولیتر از عصاره پروتئینی با بافر نمونه SDS-PAGE، روی ژل جدا کننده ۱۲/۵ درصد و ژل متراکم کننده ۴ درصد بارگذاری شد. الکتروفورز (در دستگاه PROTEAN IIx Bio-Rad) در ولتاژ ۲۰۰ ولت و شدت جریان ۶۰ میلی آمپر انجام و سپس رنگ آمیزی ژل با کوماسی بریلیانت بلو صورت گرفت (Laemmli, 1970).

استخراج DNA از ساقه دانه رست ۱۴ روزه سس، بر اساس روش Saghai-Marroof و همکاران (1984)، با اندکی تغییر صورت گرفت. برای تعیین کمیت DNA از دستگاه بیوفوتومتر و برای تعیین کیفیت DNA، از ژل آگارز ۰/۸ درصد استفاده شد. واکنش PCR با کمک دستگاه Thermal Cycler (Bio-Rad, USA) در حجم ۲۵ میکرولیتر انجام شد. غلظت مواد و بافرهای مورد نیاز جهت واکنش PCR عبارتند از: ۲/۵ میکرولیتر از بافر Taq ۱/۲۵ میکرولیتر از $MgCl_2$ ۵ میلی مولار، ۰/۴ میکرولیتر از آنزیم DNA پلیمراز ۵ واحد، ۲ میکرولیتر از الگو ۵۰ نانو گرم در میکرولیتر، ۲ میکرولیتر از هر آغازگر با غلظت ۱۰ پیکومول در میکرولیتر، ۰/۲۵ میکرولیتر از dNTP mix ۲۰ میلی مولار و بقیه تا حجم ۲۵ میکرولیتر نیز آب مقطر دیونیزه بود. در این تحقیق، از ۱۰ آغازگر (ساخت شرکت سیناژن) استفاده شد، که مشخصات و توالی آن‌ها در جدول ۲ آورده شده است. چرخه‌های دمایی واکنش PCR شامل یک مرحله و اسرشته سازی اولیه در دمای ۹۴ درجه سانتیگراد به مدت ۵ دقیقه و به دنبال آن ۳۵ سیکل که هر سیکل خود از سه مرحله مجزا شامل و اسرشته سازی ثانویه در دمای ۹۴ درجه سانتیگراد به مدت ۳۰ ثانیه، اتصال آغازگر به رشته الگو در گستره دمایی ۴۷-۵۷ درجه سانتیگراد به مدت ۴۵ ثانیه و گسترش رشته جدید در دمای ۷۲ درجه سانتیگراد به مدت ۱/۵ دقیقه تشکیل شده بود. آخرین مرحله شامل گسترش نهایی در دمای ۷۲ درجه سانتیگراد به مدت ۵ دقیقه بود. فرآورده‌های واکنش زنجیره‌ای پلیمراز با پنج میکرولیتر رنگ فرمامید ۹۸ درصد، مخلوط و قبل از بارگذاری به مدت ۵ دقیقه در دمای ۹۵ درجه واسرشته شدند. ده

جدول ۱- مشخصات اکوپیپ‌های جمع‌آوری شده از نواحی مختلف ایران

| Ecotype No. | Region originated | Latitude, N | Longitude, E |
|-------------|-----------------------------------|-------------|--------------|
| EC1 | Tabriz (East azarbajian state) | 38°04' | 46 13' |
| EC2 | Tabriz (East azarbajian state) | 36°07' | 46°20' |
| EC3 | Tabriz (East azarbajian state) | 38°01' | 46 34' |
| EC4 | Arasbaran (East azarbajian state) | 38°54' | 46°51' |
| EC5 | Hamedan (Hamedan state) | 34 47' | 48°30' |
| EC6 | Hamedan (Hamedan state) | 36°39' | 48 29' |
| EC7 | Kermanshah (Kermanshah state) | 34 18' | 47 03' |
| EC8 | Kermanshah (Kermanshah state) | 32 11' | 47 30' |
| EC9 | Isfahan (Isfahan state) | 32 13' | 51 04' |
| EC10 | Varamin (Tehran state) | 35°19' | 51 38' |
| EC11 | Rey (Tehran state) | 35 21' | 51 15' |
| EC12 | Yazd (Yazd state) | 31 53' | 54 22' |
| EC13 | Jiroft (Kerman state) | 28 40' | 57 44' |
| EC14 | Jiroft (Kerman state) | 29 41' | 58 21' |
| EC15 | Chopar (Kerman state) | 30°03' | 57 06' |
| EC16 | Zehak (Sistan-Baluchestan state) | 30 53' | 60 42' |
| EC17 | Zarghan (Fars state) | 29 46' | 52°43' |

تجزیه‌های آماری

افزار آنالیز واریانس مولکولی (AMOVA)^۵ با ۹۹۹ نمونه برداری مجدد تصادفی (permutation) صورت گرفت. برای بررسی تمایزهای ژنتیکی بین جمیعت‌ها، شاخص PhiPT با استفاده از آنالیز واریانس مولکولی (AMOVA) تخمین زده شد. شاخص PhiPT به صورت نسبت واریانس بین جمیعت‌ها به واریانس کل محاسبه شده و ارتباط بین افراد درون یک جمیعت را نسبت به کل جمیعت نشان می‌دهد و مشابه شاخص ثبیت (*Fst*) است (Maguire *et al.*, 2002). با استفاده از نرم افزار NTSYS 2.02 ماتریس دو طرفه ارقام بر اساس ضریب تشابه دایس تشکیل شد (Rohlf, 1998). تجزیه خوش‌های بر اساس ضریب تشابه دایس و با استفاده از روش UPGMA ترسیم شد. همبستگی بین ماتریس‌های تشابه هر نشانگر با ماتریس کوفتیک آن، از طریق آزمون مانتل و با استفاده از (Mantel, 1967) نرم افزار NTSYS انجام گرفت.

امتیازدهی باندهای ISSR و پروتئینی به صورت ۱ برای وجود باند و صفر برای عدم وجود باند صورت گرفت. $PIC_i = 2f_i$ بر اساس فرمول محاسبه گردید، که PIC_i محتوای اطلاعات چند شکلی مکان ژنی i ، f_i فراوانی قطعات تکثیر یافته (باند حاضر) و $(1 - f_i)$ فراوانی قطعات تکثیر نیافه (باند غایب) است. PIC هر آغازگر به صورت میانگینی از همه مکان‌های ژنی آن آغازگر، محاسبه شده است (Roldan-Ruiz *et al.*, 2000). قدرت تفکیک هر آغازگر با استفاده از رابطه $Rp = \sum Ib$ محاسبه گردید که مقدار Ib از $1 - 0.5 - p$ رابطه (| 0.5 - p |) محاسبه گردید که در اینجا p فراوانی افراد دارای باند است I است (Prevost and Wilkinson, 1999). محاسبه PIC و Rp با نرم افزار GenAlex 6 انجام شد (Peakall and Smouse, 2006).

مقدار PIC در بین آغازگرها (۰/۹۵) و نشانگر UBC873 دارای کمترین مقدار PIC در بین آغازگرها (۰/۲۴) بود. بنابراین آغازگر ۱۱ UBC811 با بیشترین مقدار PIC، بهتر از سایر آغازگرهای به کار رفته توانست فاصله ژنتیکی نمونه‌ها را مشخص کند. قدرت تفکیک (Rp) پارامتری است که توانایی تفکیک آغازگرهای انتخابی را نشان می‌دهد. قدرت تفکیک آغازگرها ۲/۶۸ و بیشترین و کمترین مقدار قدرت تفکیک مربوط به آغازگر ۱۱ UBC811 و UBC873 به ترتیب با میزان ۵/۷ و ۱ بود. بیشترین باند چند شکل مربوط به آغازگر ۱۱ UBC811 با ۸۱ باند چند شکل و کمترین باند چند شکل مربوط به آغازگر UBC873 با ۱۲ باند چند شکل بود.

شاhestت یا فاصله ژنتیکی اکوتیپ‌ها با نشانگر ISSR: تشابه ژنتیکی بین اکوتیپ‌ها با استفاده از ضریب تشابه Dice مورد بررسی قرار گرفت که نتایج آن در جدول ۳ آمده است. میزان تشابه ژنتیکی بین اکوتیپ‌ها از ۰/۰۹۵ تا ۰/۰۹۱ متغیر بود. کمترین ضریب تشابه (۰/۰۹۵) بین اکوتیپ EC5 و EC12 (به ترتیب از استان همدان و بیزد) و بیشترین ضریب تشابه بین اکوتیپ EC7 و EC8 بود، که هر دو از یک منطقه جغرافیایی (استان کرمانشاه) بودند (جدول ۳).

همچنین از این آزمون، جهت بررسی همسویی و مقایسه ماتریس تشابه داده‌های ISSR و پروتئینی استفاده گردید. جهت تأیید نتایج تجزیه خوش‌های، آزمون تجزیه به مختصات اصلی (PCA)^۹ با استفاده از نرم افزار NTSYS انجام شد و با دو مؤلفه اول که بیشترین درصد تنوع را توجیه می‌کردند، نمودار مربوطه جهت گروه‌بندی و ارتباط بین نمونه‌ها ترسیم شد.

نتایج اطلاعات نشانگرهای ISSR

تمامی ده آغازگر ISSR به کار رفته در این تحقیق، چند شکلی نشان دادند. محتوای اطلاعات چند شکلی آغازگرها و تعداد باندها در جدول ۲ نشان داده شده است. در مجموع ۳۶۱ باند نمره‌دهی شد که در بین آن‌ها ۳۴۷ باند چند شکل بودند. تعداد باندهای چند شکل از ۱۴ تا ۸۱ باند برای هر آغازگر متغیر بود. میانگین ۳۶/۱ باند و ۳۴/۷ باند چند شکل برای همه آغازگرها حاصل شد. محتوای اطلاعات چندشکلی (PIC) برای هر آغازگر، محاسبه گردید و میانگین این شاخص برای کل اکوتیپ‌ها ۰/۶۶ محاسبه گردید. آغازگر ۱۱ UBC811، دارای بیشترین

جدول ۲-آغازگرهای ISSR انتخاب شده جهت بررسی تنوع ژنتیکی و درصد چند شکلی آن‌ها در اکوتیپ‌های *C. campestris*

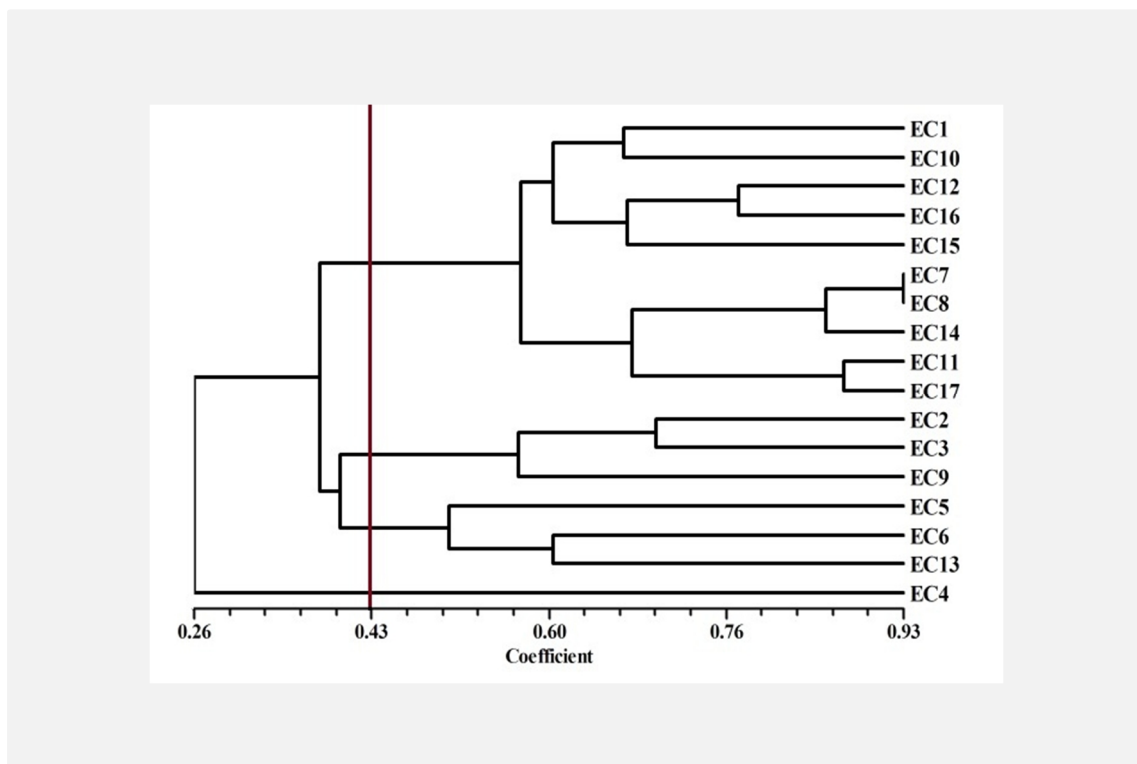
| Primer | Sequence | Number of amplified bands | Number of polymorphic bands | PIC | Rp |
|---------|-----------------------|---------------------------|-----------------------------|------|------|
| UBC807 | (AG) ₈ T | 50 | 50 | 0.79 | 3.7 |
| UBC808 | (AG) ₈ C | 42 | 42 | 0.90 | 1.4 |
| UBC811 | (GA) ₈ C | 81 | 81 | 0.95 | 5.7 |
| UBC812 | (GA) ₈ A | 41 | 41 | 0.89 | 2.5 |
| UBC825 | (AC) ₈ T | 24 | 24 | 0.27 | 3.5 |
| UBC842 | (GA) ₈ YG | 23 | 19 | 0.74 | 2.7 |
| UBC856 | (AC) ₈ YA | 20 | 20 | 0.46 | 1.3 |
| UBC864 | (ATG) ₆ | 39 | 36 | 0.75 | 2.5 |
| UBC873 | (GACA) ₄ | 14 | 12 | 0.24 | 1.0 |
| UBC884 | HBH (AG) ₇ | 27 | 22 | 0.58 | 2.5 |
| Average | | 36.1 | 34.7 | 0.66 | 2.68 |

به استان اصفهان بود. گروه سوم شامل سه اکوپیپ EC5، EC6 و EC13 بود که EC5 و EC6 هر دو از یک منطقه جغرافیایی (استان همدان) و EC13 متعلق به استان کرمان بود و در نهایت گروه آخر تنها شامل اکوپیپ EC4 (ارسپاران از استان آذربایجان شرقی) بود. مقایسه ماتریس تشابه دایس با ماتریس کوفتیک دندروگرام ISSR با استفاده از آزمون انطباق مانتل، همبستگی یالای این دو ماتریس را نشان داد ($r = 0.78$; $P = 0.01$)، که این نشان دهنده همخوانی بالای داده‌ها در ماتریس تشابه با دندروگرام UPGMA است.

تجزیه خوشه‌ای نشانگر ISSR: از ضریب تشابه دایس و روش تجزیه خوشه‌ای UPGMA برای رسم دندروگرام استفاده شد (شکل ۱). در فاصله ضریب ۴۳ درصد، کلیه جمعیت‌ها به ۴ دسته گروه‌بندی شدند. گروه اول شامل ۱۰ اکوپیپ (EC1، EC10، EC14، EC7، EC8، EC15، EC16، EC12، EC17 و EC11) بود و حداکثر تشابه بین EC8 و EC17 مشاهده شد، که هر دو از یک منطقه جغرافیایی (استان کرمانشاه) بودند. EC15 و EC14 نیز هر دو از استان کرمان بودند. گروه دوم شامل سه اکوپیپ (EC2، EC3 و EC9) بود که EC2 و EC3 هر دو متعلق به یک ناحیه تبریز از استان آذربایجان شرقی) و EC9 متعلق

جدول ۳- ماتریس تشابه ژنتیکی ۱۷ اکوپیپ *C. Campestris* برپایه آنالیز داده‌های ISSR

| Ecotype* | EC1 | EC2 | EC3 | EC4 | EC5 | EC6 | EC7 | EC8 | EC9 | EC10 | EC11 | EC12 | EC13 | EC14 | EC15 | EC16 | EC17 |
|----------|-------|-------|-------|-------|-------|-------|-------|-------|-------|-------|-------|-------|-------|-------|-------|-------|-------|
| EC1 | 1.000 | | | | | | | | | | | | | | | | |
| EC2 | 0.333 | 1.000 | | | | | | | | | | | | | | | |
| EC3 | 0.558 | 0.698 | 1.000 | | | | | | | | | | | | | | |
| EC4 | 0.286 | 0.143 | 0.345 | 1.000 | | | | | | | | | | | | | |
| EC5 | 0.171 | 0.171 | 0.222 | 0.381 | 1.000 | | | | | | | | | | | | |
| EC6 | 0.387 | 0.452 | 0.500 | 0.470 | 0.417 | 1.000 | | | | | | | | | | | |
| EC7 | 0.480 | 0.240 | 0.274 | 0.222 | 0.605 | 0.410 | 1.000 | | | | | | | | | | |
| EC8 | 0.480 | 0.240 | 0.274 | 0.222 | 0.558 | 0.461 | 0.931 | 1.000 | | | | | | | | | |
| EC9 | 0.150 | 0.550 | 0.585 | 0.308 | 0.485 | 0.483 | 0.417 | 0.458 | 1.000 | | | | | | | | |
| EC10 | 0.667 | 0.333 | 0.367 | 0.235 | 0.146 | 0.216 | 0.607 | 0.607 | 0.217 | 1.000 | | | | | | | |
| EC11 | 0.615 | 0.256 | 0.300 | 0.320 | 0.375 | 0.571 | 0.723 | 0.766 | 0.324 | 0.533 | 1.000 | | | | | | |
| EC12 | 0.653 | 0.735 | 0.600 | 0.171 | 0.095 | 0.316 | 0.456 | 0.456 | 0.425 | 0.654 | 0.565 | 1.000 | | | | | |
| EC13 | 0.293 | 0.488 | 0.333 | 0.296 | 0.588 | 0.600 | 0.612 | 0.653 | 0.461 | 0.383 | 0.474 | 0.375 | 1.000 | | | | |
| EC14 | 0.500 | 0.292 | 0.204 | 0.118 | 0.439 | 0.324 | 0.857 | 0.857 | 0.304 | 0.704 | 0.622 | 0.545 | 0.638 | 1.000 | | | |
| EC15 | 0.581 | 0.473 | 0.607 | 0.244 | 0.292 | 0.409 | 0.667 | 0.667 | 0.604 | 0.590 | 0.577 | 0.613 | 0.407 | 0.590 | 1.000 | | |
| EC16 | 0.667 | 0.571 | 0.558 | 0.143 | 0.171 | 0.387 | 0.520 | 0.480 | 0.450 | 0.458 | 0.615 | 0.775 | 0.243 | 0.458 | 0.727 | 1.000 | |
| EC17 | 0.686 | 0.286 | 0.333 | 0.286 | 0.214 | 0.500 | 0.651 | 0.651 | 0.182 | 0.585 | 0.875 | 0.619 | 0.353 | 0.634 | 0.542 | 0.686 | 1.000 |

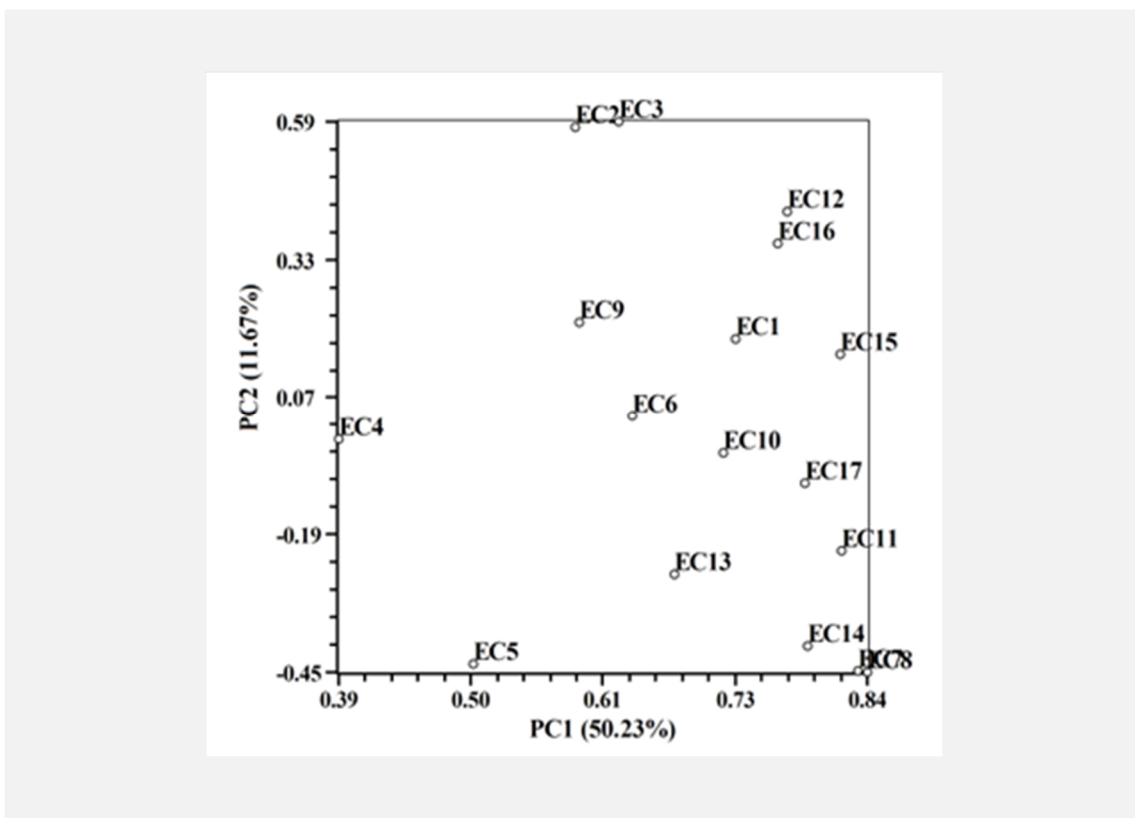


شکل ۱- تجزیه خوشه‌ای ۱۷ اکوتیپ *C. Campestris* بر اساس ماتریس تشابه حاصل از داده‌های ISSR

با نرم افزار GenAlExe 6.1 انجام گرفت، این امکان وجود دارد تا واریانس اجزاء محاسبه و سهم هریک از آن‌ها در تنوع کل تعیین شود. نتایج حاصل از واریانس مولکولی نشان داد که مقدار شاخص ثبتیت PhiPT بالا (۸۱٪/۰) و بسیار معنی‌دار است ($P=0.01$). از میزان کل واریانس مشاهده شده، در مجموع در حدود ۱۹٪ آن به مریبوط به تنوع داخل جمیعت‌ها و ۸۱٪ آن مریبوط به تنوع بین جمیعت‌ها بود. به این ترتیب در مجموع سهم تنوع بین جمیعت‌ها از تنوع داخل آن‌ها بیشتر بود و تنوع ژنتیکی بالایی بین جمیعت‌ها با توجه به میزان بالای شاخص PhiPT مشاهده شد.

تجزیه به مختصات اصلی (PCA) نشانگر ISSR: آرایش تجمعی ۱۷ اکوتیپ مورد مطالعه با استفاده از آزمون تجزیه به مختصات اصلی مبتنی بر ماتریس تشابه دایس، در شکل ۲ نشان داده شده است. مؤلفه‌های اول و دوم به ترتیب ۵۰٪/۲۳ و ۱۱٪/۶۷ درصد از واریانس کل را بیان کردند. در این تجزیه همپوشانی بالایی بین EC7 و EC8 که منشاء آن‌ها از یک منطقه جغرافیایی (استان کرمانشاه) بود، مشاهده شد. پراکنش اکوتیپ‌ها در این آنالیز با دندروگرام خوشه‌ای همخوانی زیادی داشته است.

آنالیز واریانس مولکولی (AMOVA) نشانگر ISSR: در آنالیز واریانس مولکولی (AMOVA) که



شکل ۲- پلات مختصات اصلی ۱۷ اکوتیپ *C. Campestris* بر اساس داده‌های ISSR

برآورده شbahت یا فاصله ژنتیکی اکوتیپ‌ها بر اساس نشانگر پروتئینی SDS-PAGE

برای هر باند محاسبه گردید و میانگین این شاخص برای کل اکوتیپ‌ها $0/41 \pm 0/041$ محاسبه گردید. بر اساس ماتریس تشابه دایس، میزان تشابه ژنتیکی بین اکوتیپ‌ها از ۰ تا ۱ با میانگین $0/5 \pm 0/05$ متغیر بود. بیشترین تشابه بین EC2 و EC3 مشاهده شد که هر دو از یک منطقه جغرافیایی (استان آذربایجان شرقی) بودند و هر دو اکوتیپ کمترین تشابه را با EC5 با منشأ جغرافیایی متفاوت (استان همدان) داشتند (جدول ۴).

در مجموع برای اکوتیپ‌های مورد مطالعه ۲۵ باند شناسایی گردید، اگرچه باندهای پروتئینی مشترک زیادی در بین اکوتیپ‌های مذکور وجود داشت، اما باندهای اختصاصی نیز مشاهده گردید که خاص هر اکوتیپ بودند. باندهای پروتئینی علاوه بر اینکه از نظر محل قرارگرفتن روی ژل و وزن ملکولی متفاوت بودند، از نظر تراکم و شدت نیز با یکدیگر تفاوت نشان دادند. محتوای اطلاعات چندشکلی

جدول ۴- ماتریس تشابه ژنتیکی ۱۷ اکوtyp C. Campestris بر پایه آنالیز داده‌های پروتئین

| Ecotype* | EC1 | EC2 | EC3 | EC4 | EC5 | EC6 | EC7 | EC8 | EC9 | EC10 | EC11 | EC12 | EC13 | EC14 | EC15 | EC16 | EC17 |
|----------|-------|-------|-------|-------|-------|-------|-------|-------|-------|-------|-------|-------|-------|-------|-------|-------|-------|
| EC1 | 1.000 | | | | | | | | | | | | | | | | |
| EC2 | 0.454 | 1.000 | | | | | | | | | | | | | | | |
| EC3 | 0.454 | 1.000 | 1.000 | | | | | | | | | | | | | | |
| EC4 | 0.640 | 0.381 | 0.381 | 1.000 | | | | | | | | | | | | | |
| EC5 | 0.200 | 0.000 | 0.000 | 0.210 | 1.000 | | | | | | | | | | | | |
| EC6 | 0.690 | 0.480 | 0.480 | 0.714 | 0.261 | 1.000 | | | | | | | | | | | |
| EC7 | 0.500 | 0.200 | 0.200 | 0.174 | 0.667 | 0.370 | 1.000 | | | | | | | | | | |
| EC8 | 0.467 | 0.385 | 0.385 | 0.414 | 0.500 | 0.485 | 0.714 | 1.000 | | | | | | | | | |
| EC9 | 0.562 | 0.428 | 0.428 | 0.516 | 0.461 | 0.571 | 0.600 | 0.900 | 1.000 | | | | | | | | |
| EC10 | 0.583 | 0.500 | 0.500 | 0.783 | 0.222 | 0.667 | 0.364 | 0.428 | 0.467 | 1.000 | | | | | | | |
| EC11 | 0.560 | 0.571 | 0.571 | 0.833 | 0.210 | 0.786 | 0.174 | 0.414 | 0.516 | 0.696 | 1.000 | | | | | | |
| EC12 | 0.118 | 0.461 | 0.461 | 0.125 | 0.182 | 0.200 | 0.267 | 0.190 | 0.261 | 0.267 | 0.125 | 1.000 | | | | | |
| EC13 | 0.452 | 0.444 | 0.444 | 0.467 | 0.560 | 0.588 | 0.552 | 0.800 | 0.865 | 0.414 | 0.600 | 0.273 | 1.000 | | | | |
| EC14 | 0.516 | 0.518 | 0.518 | 0.467 | 0.480 | 0.529 | 0.621 | 0.857 | 0.811 | 0.483 | 0.533 | 0.273 | 0.900 | 1.000 | | | |
| EC15 | 0.581 | 0.444 | 0.444 | 0.533 | 0.400 | 0.588 | 0.552 | 0.857 | 0.973 | 0.483 | 0.533 | 0.182 | 0.833 | 0.778 | 1.000 | | |
| EC16 | 0.857 | 0.500 | 0.500 | 0.667 | 0.273 | 0.839 | 0.461 | 0.437 | 0.588 | 0.692 | 0.667 | 0.210 | 0.485 | 0.485 | 0.606 | 1.000 | |
| EC17 | 0.786 | 0.583 | 0.583 | 0.741 | 0.182 | 0.903 | 0.308 | 0.437 | 0.588 | 0.692 | 0.815 | 0.210 | 0.545 | 0.485 | 0.606 | 0.867 | 1.000 |

تجزیه خوشه‌ای بر اساس نشانگر پروتئینی:

دندروگرام حاصل از نشانگر پروتئینی بر اساس ضریب تشابه دایس و روش UPGMA در شکل ۳ نشان داده شده است. در فاصله ضریب ۰.۴۷ درصد، کلیه جمعیت‌ها به ۳ دسته گروه‌بندی شدند. گروه اول شامل ۱۹ اکوتیپ (EC1، EC6، EC16، EC17، EC1، EC2، EC4، EC10، EC11، EC12، EC13، EC14) بود و حداقل تشابه بین EC2 و EC3 مشاهده شد، که هر دو از یک منطقه جغرافیایی (استان آذربایجان شرقی) بودند. EC1 و EC4 نیز هر دو متعلق به استان آذربایجان شرقی بودند و همچنین EC10 و EC11 نیز از یک منطقه جغرافیایی (استان تهران) بودند.

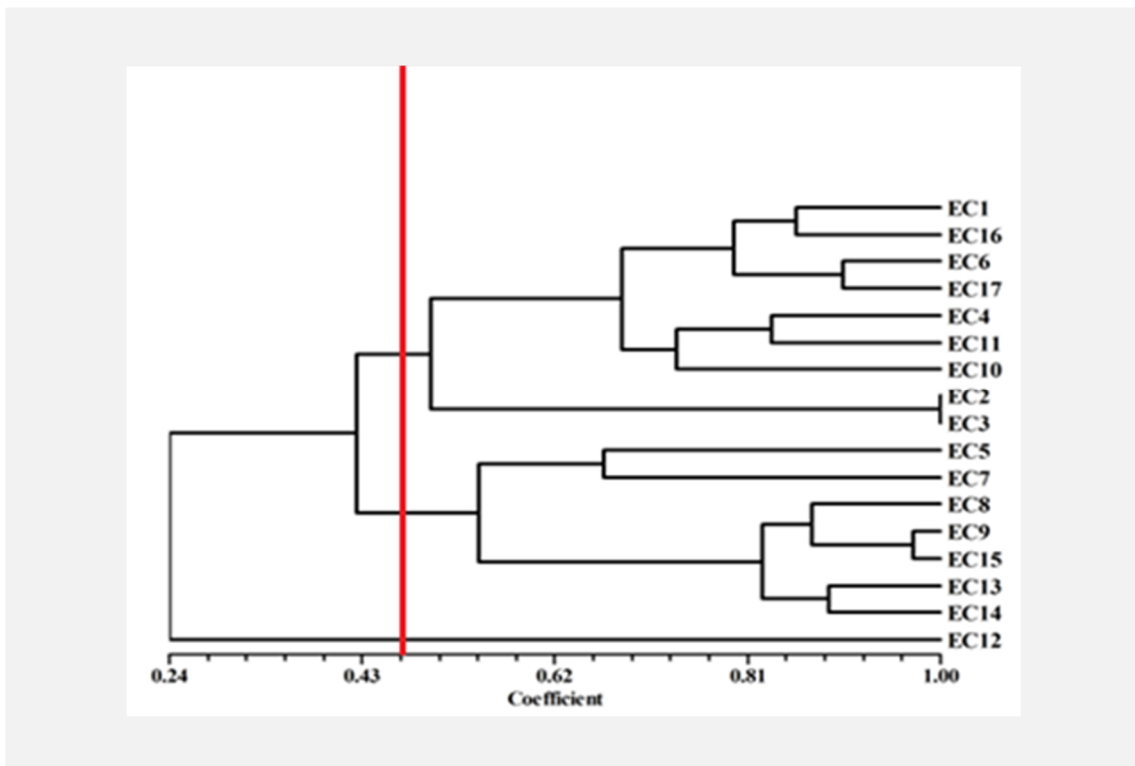
گروه دوم شامل ۱۷ اکوتیپ (EC5، EC7، EC8، EC9، EC13، EC15 و EC14) بود، که EC14 و EC15 هر سه متعلق به یک استان (کرمان) بودند و همچنین EC7 و EC8 نیز هر دو متعلق به استان کرمانشاه بودند. گروه سوم تنها شامل اکوتیپ EC12 (استان یزد) بود. مقایسه ماتریس تشابه دایس با ماتریس کوفتیک دنдрوگرام پروتئین با استفاده از آزمون انطباق مانتل، همبستگی یالای این دو ماتریس را نشان داد ($r = 0.85$; $P = 0.01$)، که این نشان دهنده همخوانی بالای داده‌ها در ماتریس تشابه با دنдрوگرام UPGMA است. ماتریس ضریب تشابه

بر پایه تجزیه خوشه‌ای نشان داد که EC12 (متعلق به استان یزد) در فاصله‌ای دور از دیگر نمونه‌ها و در گروهی کاملاً مجزا قرار گرفته است.

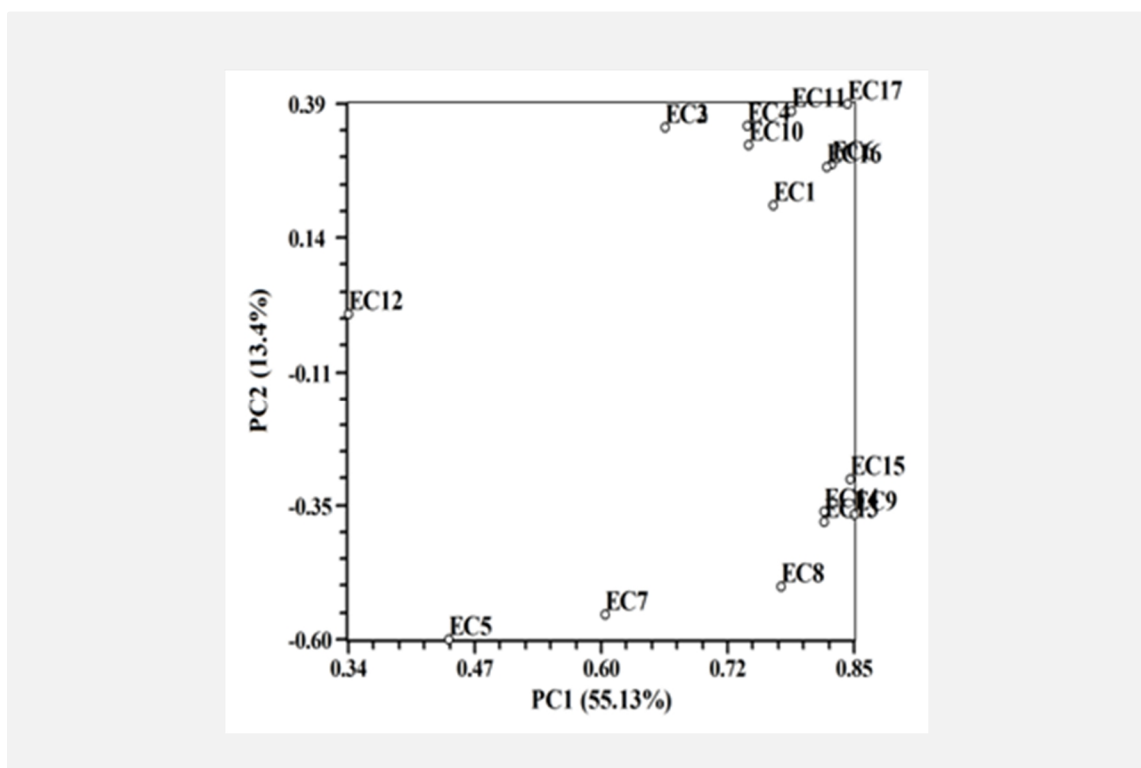
آنالیز واریانس مولکولی (AMOVA) بر اساس نشانگر پروتئینی SDS-PAGE: بر پایه نتایج حاصل از واریانس مولکولی، تمایز ژنتیکی بین جمعیت‌ها بالا بود ($\Phi_{PT} = 0.846$; $P = 0.01$). از میزان کل واریانس مشاهده شده، در مجموع در حدود ۱۵٪ آن مربوط به تنوع داخل جمعیتها و ۸۵٪ آن مربوط به تنوع بین جمعیت‌ها بود. به این ترتیب در مجموع سهم تنوع بین جمعیت‌ها از تنوع داخل آن‌ها بیشتر بود و تنوع ژنتیکی بالایی بین جمعیت‌ها با توجه به میزان بالای شاخص Φ_{PT} مشاهده شد.

دایس حاصل از نشانگر پروتئینی و نشانگر ISSR نیز با استفاده از آزمون مانتل با هم مقایسه شدند و نتایج نشان داد که بین این دو نشانگر همبستگی معنی داری وجود ندارد ($r = 0.29$; $P = 0.99$).

تجزیه به مختصات اصلی (PCA) بر اساس نشانگر پروتئینی SDS-PAGE: بررسی بیشتر روابط ژنتیکی جمعیت‌ها آزمون تجزیه به مختصات اصلی مبتنی بر ماتریس تشابه نشانگر پروتئینی، در شکل ۴ نشان داده شده است. مؤلفه‌های اول و دوم به ترتیب $13/4$ و $55/13$ درصد از واریانس کل را بیان کردند. پراکنش اکوتیپ‌ها در این آنالیز با دنдрوگرام خوشه‌ای همخوانی زیادی داشته است. داده‌های این تجزیه به همراه گروه‌بندی



شکل ۳- تجزیه خوشه‌ای ۱۷ اکوتیپ *C. Campestris* بر اساس ماتریس تشابه حاصل از داده‌های پروتئین



شکل ۴- پلات مختصات اصلی ۱۷ اکو تیپ *C. Campestris* بر اساس داده های پروتئین

بحث

است. در این تحقیق، به دلیل وضوح کم باندها با ژل آگارز، از ژل پلی آکریلامید با رنگ آمیزی نیترات نقره استفاده شد، اما در گزارش Li و Dong (2009) از ژل آگارز با رنگ آمیزی اتیدیوم بروماید استفاده شده بود. بنابراین، علت تفاوت تعداد آلل بین پژوهش های مختلف می تواند به دلیل تعداد متفاوت ژنو تیپ ها و روش های مطالعه باشد.

آغازگر UBC811، دارای بیشترین مقدار باند چند شکل در بین آغازگرها و آغازگر UBC873 دارای کمترین مقدار باند بود. قدرت تفکیک (Rp) پارامتری است که توانایی تفکیک آغازگرهای انتخابی را نشان می دهد. Wilkinson و Prevost (1999)، پارامتر Rp را به عنوان شاخص سنجش توانایی تمایز نشانگرها ملکولی ISSR، معرفی نمودند. همسویی بالای

در این تحقیق، با ۱۰ آغازگر ISSR ۳۶۱ باند شناسایی شد که ۳۴۷ باند آن چند شکل بودند. در مطالعه Li و Dong (2009) از این آغازگرها، در بررسی تنوع کلونالی *C. campestris* (۴ ژنو تیپ) با نشانگر ISSR استفاده شده بود، اما در تحقیق آنها، از مجموع ۱۳۶ باند شناسایی شده تنها سه باند چند شکل بودند. Semagn و همکاران (2006) گزارش دادند که نشانگرها ISSR اغلب چند شکلی بالای نشان می دهند، اما سطح چند شکلی می تواند با به کار گیری روش های شناسایی باندها، تفاوت پیدا کند. حساسترین روش شناسایی، ژل پلی آکریلامید (PAGE) همرا با مواد پرتوزا، پس از آن ژل پلی آکریلامید با رنگ آمیزی نیترات نقره و سپس ژل آگارز با رنگ آمیزی اتیدیوم بروماید

تعداد بیشتری مؤلفه برای توجیه تغییرات کل آنها نیاز است (Ahkami *et al.*, 2007). در این مطالعه نیز، توجیه بخش کمتری از تغییرات توسط دو مؤلفه اولیه، دلالت بر توزیع مناسب نشانگرهای استفاده شده در ژنوم دارد. با نشانگر ISSR در فاصله ضریب ۴۳ درصد، کلیه جمعیت‌ها به ۴ گروه و با نشانگر پروتئینی در فاصله ضریب ۴۷ درصد، به سه گروه خوشبندی شدند. بنابراین، نشانگر ISSR منجر به تمایز بیشتر اکوتیپ‌ها و نشانگر پروتئینی منجر به تمایز کمتر شده است. Mengistu و همکاران (2004) گزارش دادند که نشانگرهای ISSR، قادر به بررسی تنوع میان و درون ژنومی هستند و با این نشانگرهای، امکان بررسی همزمان چندین جایگاه در ژنوم نمونه‌ها وجود دارد. دندروگرام بر پایه نشانگرهای ISSR، ارتباط نزدیکی بین اکوتیپ‌های استان کرمانشاه، آذربایجان شرقی، کرمان و همدان نشان داد و بر پایه نشانگرهای پروتئینی، اکوتیپ‌های استان کرمانشاه، کرمان و تهران در یک گروه قرار گرفتند و حداکثر تشابه بین اکوتیپ‌های استان آذربایجان شرقی مشاهده شد، اما اکوتیپ‌های استان همدان در دو گروه مجزا قرار گرفتند.

نشانگرهای ISSR، ارتباط نزدیکی بین اکوتیپ‌های استان کرمانشاه، آذربایجان شرقی و همدان نشان دادند و بر پایه نشانگرهای پروتئینی نیز اکوتیپ‌های استان کرمانشاه در یک گروه قرار گرفتند و حداکثر تشابه بین اکوتیپ‌های استان آذربایجان شرقی مشاهده شد، اما اکوتیپ‌های استان همدان در دو گروه مجزا قرار گرفتند. در بقیه اکوتیپ‌ها، هیچ رابطه‌ای بین واگرایی ژنتیکی و منشاء جغرافیایی وجود نداشت، به نحوی که اکوتیپ‌هایی

مقادیر Rp و تعداد باندهای چند شکل نشان داد که آغازگر UBC811 از سایر آغازگرها کارآمدتر است. PIC یکی از شاخص‌های مهم جهت مقایسه نشانگرهای مختلف است و در تفکیک و تمایز افراد نقش بسزایی دارد (Barth *et al.*, 2002) و همکاران (1980)، گزارش دادند که $PIC > 0.5$ نشان‌دهنده یک نشانگر بسیار کارا و $0.5 > PIC > 0.25$ نشان‌دهنده یک نشانگر کارا و $PIC \leq 0.25$ نشان‌دهنده یک نشانگر با کارایی پایین است. در این تحقیق، میانگین مقدار PIC نشانگر ISSR و پروتئین به ترتیب $0/66$ و $0/41$ و فراوانی آلل دو نشانگر نیز به ترتیب 361 و 25 بود. فراوانی باندها نشانگرهای پروتئینی در مقایسه با نشانگرهای ISSR بسیار کمتر بود. بنابراین، با توجه به مقدار PIC و فراوانی آلل، نشانگرهای ISSR نسبت به نشانگرهای پروتئینی دارای کارایی بیشتری در بررسی تنوع اکوتیپ‌های نشانگرهای ISSR هستند. Zhao and C. Campestris (2006) گزارش دادند که برخلاف نشانگرهای پروتئینی، نشانگرهای دی‌ان‌ای تحت تأثیر شرایط محیطی و مرحله رشدی قرار نگرفته و در کل ژنوم پراکنده‌اند، از مزایای دیگر آن‌ها فراوانی، چند شکلی بالا و سنجش ساده آن‌ها است. نتایج تجزیه خوشبندی دو نشانگر ISSR و پروتئین با نتایج پلات تجزیه به مختصات اصلی بر اساس دو مؤلفه اصلی، همخوانی زیادی داشت. در بررسی تنوع ژنتیکی از طریق داده‌های مولکولی، بهتر است که نشانگرها توزیع یکنواخت و مناسب در سطح ژنوم داشته باشند، تا بتوانند کل ژنوم را تا حدودی پوشش دهند. بنابراین اگر نشانگر از بخش‌های مختلف ژنوم انتخاب شده باشد، همبستگی بین آن‌ها کم خواهد بود و در نتیجه

ژنوم را در بر می‌گیرند. قسمت عمده ردیف‌های غیرمزشونده را ردیف‌های پشت سر هم تکرار شونده تشکیل می‌دهد. این توالی‌ها به وفور در ژنوم یوکاریوت‌ها یافت شده و در طول ژنوم پراکنده‌اند و چند شکلی بالا در این ردیف‌ها به واسطه سرخوردن DNA (خطاهای همانند سازی) است. نتایج آنالیز واریانس مولکولی بر پایه نشانگر ISSR، با نتایج آنالیز بر پایه نشانگر پروتئینی همخوانی داشت و با هر دو نشانگر، سهم تنوع بین جمعیت‌ها از تنوع داخل آن‌ها بیشتر بود.

ساختار ژنتیکی یک گونه، توسط تعدادی از عوامل تکاملی مانند سیستم جفت‌گیری، جریان ژنی، پراکنده‌گی دانه، نوع تولید مثل و به علاوه انتخاب طبیعی تحت تأثیر قرار می‌گیرد (Lin *et al.*, 2002). رشد کلونالی *C. Campestris* بالا است و غالب افراد این گونه قادر به تکثیر کلونالی از طریق قطعات بریده شده ساقه در مزرعه هستند. این گیاه هم از طریق جنسی و هم غیر جنسی تولید مثل می‌کند و قادر به خودلقاخی است (Li and Dong, 2009). پراکنده‌گی بذر این گونه از طریق انسان، ماشین آلات کشاورزی، پرنده‌گان و جانوران است و بذر آن‌ها ویژگی‌های عمومی برای پراکنش با باد را دارا نیستند (Costea *et al.*, 2006). بذر آن‌ها با افتادن از گیاه پراکنده شده و سرعت انتشار بذر و دانه گرده آن‌ها پایین است (Li and Dong, 2009).

در این تحقیق، سطح پایینی از تنوع ژنتیکی درون جمعیت‌ها و تمایز بالای ژنتیکی بین جمعیت‌ها، می‌تواند ناشی از عوامل مختلفی مانند کاهش جریان ژنی در میان جمعیت‌ها، مدیریت این علف‌هرز در نواحی مختلف، انتشار پایین دانه گرده و بذر آن

که از یک مکان یا نواحی جغرافیایی نزدیک به هم جمع‌آوری شده بودند، در گروه‌های مجزا قرار گرفتند. قرار گیری اکوتیپ‌هایی با منشأ جغرافیایی متفاوت در دندروگرام کنار یکدیگر نشان می‌دهد، که آلل‌های مشترکی بین آن‌ها وجود دارد. به این ترتیب، نتایج حاصل از گروه‌بندی تجزیه خوشای تا حد زیادی عدم ارتباط بین تنوع مولکولی و تنوع جغرافیایی را نشان داد. عدم انطباق داده‌های مولکولی و مناطق جغرافیایی ممکن است ناشی از پدیده جریان ژن بین جمعیت‌ها، تشابه شرایط اقلیمی و یا تبادل فیزیکی مواد بین این مناطق باشد. Dreisigacker و همکاران (2004) گزارش دادند که ارقام کشت شده در مناطق مختلف جغرافیایی، لزوماً در دسته‌های جداگانه قرار نمی‌گیرند و این حالت چند دلیل می‌تواند داشته باشد: طولانی بودن انتخاب بر اساس شرایط مختلف محیطی آنقدر که بتواند منجر به ایجاد تفاوت در ذخیره ژنتیکی شود، توانایی ژن‌هایی که باعث ایجاد سازش به چند محیط می‌شوند و در نهایت احتمال ناکافی بودن تعداد مکان‌های ژنی مورد مطالعه را نشان می‌دهد. ماتریس ضربی تشابه دایس حاصل از نشانگر پروتئینی و نشانگر ISSR با استفاده از آزمون مانتل با هم مقایسه شدند و نتایج نشان داد که بین این دو نشانگر همبستگی معنی داری وجود ندارد ($r = 0.29; P = 0.99$). این عدم همبستگی، می‌تواند به علت تفاوت در نواحی تحت پوشش این دو نشانگر باشد، زیرا نشانگرهای پروتئینی در برگیرنده تنوع مربوط به قسمت‌های بیان شونده ژنوم می‌باشند. Jonavicience و همکاران (2009) نیز گزارش نمودند نشانگرهای ISSR، ردیف‌های غیرمزشونده

- Cellular & Developmental Biology – Plant, 43: 304-317.
- Barth, S., A. E. Melchinger and T. Luebberestedt (2002). Genetic diversity in *Arabidopsis thaliana* L. Heynh. Investigated by cleaved amplified polymorphic sequence (CAPS) and intersimple sequence repeat (ISSR) markers. Molecular Ecology, 11: 495- 505.
- Bassam, B. J., G. Caetano-Anolles and P. M. Gresshoff (1991). Fast and sensitive silver staining of DNA in acrylamide gels. Analytical Biochemistry, 196: 80-83.
- Benbouza, H., J. M. Jacquemin, J. P. Baudoine and G. Mergeai (2006). Optimization of a reliable, fast, cheap and sensitive silver staining method to detect SSR markers in polyacrylamide gels. Biotechnology, Agronomy, Society and Environment, 10: 77–81.
- Botstein, D., R. L. White, M. Skolnick and R. W. Davis (1980). Construction of genetic linkage map in man using restriction length polymorphisms. American Journal of Human Genetics, 32: 314-331.
- Bradford, M. M. (1976). A rapid sensitive method for the quantitation of microgram quantities of protein utilizing the principle of protein-dye binding. Analytical Biochemistry, 72: 248-254.
- Costea, M. and F. J. Tardif (2006). The biology of Canadian weeds.133. *Cuscuta campestris* Yuncker, C. gronovii Willd. ex Schult., C. umbrosa Beyr. ex Hook., C. epithymum (L.) L. and C. epilinum Weihe. Canadian Journal of Plant Science, 86: 293–316.
- Dreisigacker, S., P. Zhang, M. L. Warburton, M. Van Ginkel, D. Hoisington, M. Bohn and A. E. Melchinger (2004). SSR and pedigree analysis of genetic diversity among CIMMYT wheat lines targeted to different mega-environments. Crop Science, 4: 381-388.
- Dziechciarkova, M., A. Lebeda, I. Dolezalova and D. Astley (2004). Characterization of *Lactuca* spp. germplasm by protein and molecular markers. Plant Soil Environment, 50: 47-58.

باشد و ماهیت کلونالی *C. Campestris* در این رابطه نقشی اساسی دارد، زیرا گسترش به نواحی جدید بوسیله تولید مثل رویشی غیر ممکن است. از طرف دیگر تنوع بالای ژنتیکی بین اکو-تیپ‌های سس زراعی، در مرحله اول کارایی بالای نشانگرهای ISSR را در آنالیز ژنوم این گیاه آشکار می‌سازد و از طرف دیگر حضور چنین تنوعی در این تحقیق، سطوح متفاوت آلودگی اکو-تیپ‌های سس در مناطق مختلف کشور و واکنش متفاوت آن‌ها به علفکش‌ها را توجیه می‌کند و اطلاعات پایه‌ای را فراهم می‌سازد که می‌تواند منجر به کنترل مؤثر این علف‌هرز در مناطق مختلف کشور شود.

پی‌نوشت‌ها

- 1- Inter-simple sequence repeat
- 2- Polymorphism information content
- 3- Resolving power
- 4- Unweighted Pair- Group Method using Arithmetic average
- 5- Analysis of molecular variance
- 6- Principal component Analaysis

منابع

- Adahl, E., P. Lundberg and N. Jonzan (2006). From climate change to population change: the need to consider annual life cycles. Global Change Biology, 12: 1627–1633.
- Ahkami, A. M., M.R. Naghavi, M. Mardi, A. Hosseinzadeh, M. Pirsayedi, P. Petki, M. Kazemi Alamoti, I. Hashempour and M. A. Omidbakhsh (2007). Study of genetic relatively in durum wheat (*Triticum durum*) using AFLP markers. Iranian Journal of Agricultural Sciences, 1: 25-35.
- Aly, R. (2007). Conventional and biotechnological approaches for control of parasitic weeds. In Vitro

- Mengistu, L. W., C. G. Messersmith and M. J. Christoffers (2004). Genetic diversity of herbicide-resistant and – susceptible *Avena fatua* populations in North Dakota and Minnesota. *Weed Research*, 45: 413-423.
- Peakall, R. and P. E. Smouse (2006). GENALEX 6: genetic analysis in Excel. Population genetic software for teaching and research. *Molecular Ecology Notes*, 6: 288-295.
- Prevost, A. and M. J. Wilkinson (1999). A new system of comparing PCR primers applied to ISSR fingerprinting of potato cultivars. *Theoretical and applied Genetics*, 98: 107–112.
- Rohlf, F. J. (1998). NTSYS-pc Numerical taxonomy and Multivariate analysis System, Version 2.02. Exeter software, Setauket, New York.
- Roldan-Ruiz, I., J. Dendauw, E. Van-Bockstaele, A. Depicker and M. De-Loose (2000). AFLP markers reveal high polymorphic rates in ryegrasses (*Lolium spp.*). *Molecular Breeding*, 6: 125–134.
- Saghai-Maroof, M. A., K. M. Soliman, R. A. Jorgensen and R. W. Allad (1984). Ribosomal DNA spacer - length polymorphism in barely: Mendelian inheritance, chromosomal location and population dynamics. *Proceedings of the National Academy of Sciences USA*, 81: 8014-8018.
- Semagn, K., A. Bjornstad and M. N. Ndjiondjop (2006). An overview of molecular marker methods for plants. *African Journal of Biotechnology*, 5: 2540-2568.
- Weinberg, T., A. Lazar and B. Rubin (2003). Effects of bleaching herbicides on field dodder (*Cuscuta campestris*). *Weed Science*, 51: 663-670.
- Zhao, W. G., X. X. Miao, B. Zang, L. Zhan, Y. L. Pan and Y. P. Huang (2006). Construction of fingerprinting and genetic diversity of mulberry cultivars in China by ISSR markers. *Acta Genetica Sinica*, 33: 851-860.
- Goolsby, J. A., P. J. De Barro, J. R. Makinson, R. W. Pemberton, D. M. Hartley and D. R. Frohlich (2006). Matching the origin of an invasive weed for selection of a herbivore haplotype for a biological control program. *Molecular Ecology*, 15: 287–297.
- Jonaviciene, K., V. Paplauskienė and G. Brazauskas (2009). Isozymes and ISSR markers as a tool for the assessment of genetic diversity in *Phleum spp.* *Zemdirbyste Agriculture*, 96: 47-57.
- Kim, A. K., D. J. Ellis, H. A. Sandler, P. Hart, J. E. Darga, D. Keeney and T. A. Bewick (2004). Genetic diversity of dodder (*Cuscuta spp.*) collected from commercial cranberry production as revealed in the *trnL* (UAA) intron. *Plant Molecular Biology Reporter*, 22: 217-233.
- Laemmli, U. K. (1970). Cleavage of structural proteins during the assembly of the head of bacteriophage T4. *Nature*, 227: 680-685.
- Li, J. and M. Dong (2009). Fine-scale clonal structure and diversity of invasive plant *Mikania micrantha* H.B.K. and its plant parasite *Cuscuta campestris* Yunker. *Biological Invasions*, 11: 687-695.
- Lian, J. K., W. H. Ye, H. L. Cao, Z. M. Lai, Z. M. Wang, and C. X. Cai (2006). Influence of obligate parasite *Cuscuta campestris* on the community of its *Mikania micrantha*. *Weed Research*, 46: 441-443.
- Lin, J. Z., P. L. Morrell and M. T. Clegg (2002). The influence of linkage and inbreeding on patterns of nucleotide sequence diversity at duplicate alcohol dehydrogenase loci in wild barley (*Hordeum vulgare* ssp. *spontaneum*). *Genetics Society of America*, 162: 2007-2015.
- Maguire, T. L., R. Peakall and P. Saenger (2002). Comparative analysis of genetic diversity in the mangrove species *Avicennia marina* (Forsk.) Vierh. (Avicenniaceae) detected by AFLPs and SSRs. *Theoretical and applied Genetics*, 104: 338-398.
- Mantel, N. (1967). The detection of disease clustering and a generalized regression approach. *Cancer Research*, 27: 209-220.

